

Отчет по лабораторной работе №1

Многозвенные LC-фильтры

Работу выполнили студенты
Есюнин М.В., Есюнин Д.В.
420 группы

Преподаватель:
Половинкин А.В.

Содержание

1	Уравнения многозвенного электрического фильтра	2
2	Дисперсионное уравнение	3
3	Собственные колебания	5
4	Вынужденные колебания	6
5	Фильтр низкой частоты (ФНЧ)	9
6	Фильтр высокой частоты (ФВЧ)	11
7	Полосовой фильтр	13
8	Эксперимент	15
8.1	ФЧХ и АЧХ	15

1. Уравнения многозвенного электрического фильтра

Система, состоящая из цепочки идентичных звеньев, будучи системой с пространственной дисперсией, обладает селективными свойствами в определенной области частот. В зависимости от того, какова область частот, в которой колебания пропускаются практически без искажений, фильтры подразделяются на фильтры низких и высоких частот, полосовые и задерживающие фильтры. Четырехполюсники, образующие звенья рассматриваемых в работе электрических

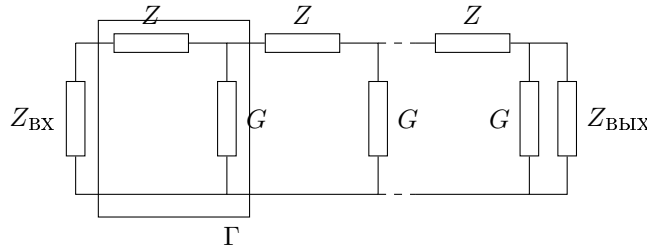


Рис. 1. Общая схема фильтра

фильтров, состоят из пассивных элементов: индуктивностей, ёмкостей и сопротивлений. Для большей методической простоты мы будем изучать только консервативные фильтры, состоящие из чисто реактивных элементов – индуктивностей и ёмкостей, так называемые LC - фильтры. Общая схема фильтра приведена на рис. 1, где введены следующие обозначения: $Z(p)$ – операторный импеданс, $G(p)$ – операторная проводимость, и $Z_{\text{вх}}(p)$ и $Z_{\text{вых}}(p)$ – операторные импедансы на входе и выходе фильтра, соответственно, где ω – частота колебаний. При расчетах фильтры могут быть разбиты на так называемые Г-образные, Т-образные и П-образные звенья. Заметим, что такое деление – чисто условное и не влияет на коэффициент передачи рассчитываемого фильтра.

Рассмотрим для примера фильтр, разбитый на Т-образные звенья (см. рис. 2), и запишем для него операторные уравнения квазистатики.

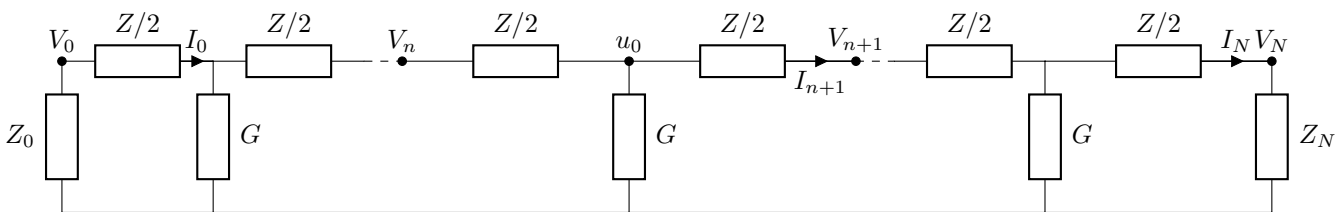


Рис. 2. Фильтр из Т-образных звеньев

При этом на основании законов Кирхгофа для комплексных амплитуд напряжений V_n и токов I_n , где n номер звена, будем иметь:

$$\begin{aligned} V_n - U_0 &= \frac{Z}{2} I_n, \\ U_0 - V_{n+1} &= \frac{Z}{2} I_{n+1}, \\ GU_0 &= I_n - I_{n+1} \end{aligned} \quad (1.1)$$

Исключая из этих уравнений U_0 и разрешая их относительно переменных V_{n+1} и I_{n+1} , получим:

$$\begin{aligned} V_{n+1} &= a_{11}(p)V_n - a_{12}pI_n, \\ I_{n+1} &= -a_{21}V_n + a_{22}(p)I_n, \end{aligned} \quad (1.2)$$

где

$$\begin{aligned} a_{11} &= 1 + \frac{1}{2}GZ, \quad a_{12} = Z \left(1 + \frac{1}{4}GZ \right) \\ a_{21} &= G, \quad a_{22} = 1 + \frac{1}{2}GZ \end{aligned} \quad (1.3)$$

Отметим следующее важное свойство четырёхполюсников. Четырёхполюсники, для которых выполняются условия

$$a_{11} = a_{22}, \quad a_{12} = Z \quad (1.4)$$

называются взаимными. Для них выполняется теорема взаимности, согласно которой свойства четырёхполюсника не изменяются, если его вход и выход поменять местами. Нетрудно видеть, что Т-образное звено представляет собой взаимный четырёхполюсник. В случае П-образного разбиения на звенья в уравнениях (1.2) следует положить

$$\begin{aligned} a_{11} &= 1 + \frac{1}{2}GZ, \quad a_{12} = Z \\ a_{21} &= G \left(1 + \frac{1}{4}GZ \right), \quad a_{22} = 1 + \frac{1}{2}GZ \end{aligned} \quad (1.5)$$

Отсюда следует, что П-образное звено также удовлетворяет теореме взаимности. Система (1.2) должна быть дополнена граничными условиями

$$V_0 = -I_0Z_0, \quad V_N = Z_N I_N \quad (1.6)$$

Исследование явлений, описываемых уравнениями (1.2) при условии (1.6) включает в себя задачи:

1. описание собственных колебаний
2. описание вынужденных колебаний

Прежде чем переходить к решению первой задачи, исследуем собственные колебания (1.2) в безграничной цепочке, положим $N \rightarrow \infty$.

2. Дисперсионное уравнение

Важнейшей особенностью рассматриваемой цепочной структуры является её периодичность, являющаяся следствием идентичности звеньев и проявляющаяся при $N \rightarrow \infty$ в виде свойства так называемой *трансляционной симметрии*. Это свойство равнозначно свойству инвариантности уравнений (2.1) относительно преобразования трансляции $n \Rightarrow n'$ вида $n' = n + m$,

где m – любое целое число. Трансляционная симметрия (1.1) в сочетании с линейностью этих уравнений позволяет искать их решение в виде

$$V_n = Ae^{-in\theta}, I_n = Be^{-in\theta}, \quad (2.1)$$

где $n = 0, \pm 1, \pm 2, \dots$, а θ – некоторая величина, подлежащая определению. Она находится из условия существования нетривиального решения алгебраической системы

$$\begin{aligned} A(e^{-i\theta} - a_{11}) + Ba_{12} &= 0, \\ Aa_{21} + B(e^{-i\theta} - a_{22}) &= 0, \end{aligned} \quad (2.2)$$

получаемой подстановкой (2.1) в (2.2). Этим условием является равенство нулю детерминанта (2.2), что, с учётом (1.4), даёт

$$(e^{-i\theta} - a_{11})^2 - a_{11}^2 + 1 = 0 \quad (2.3)$$

или

$$\cos \theta = a_{11} \quad (2.4)$$

Величина θ , определяемая из 2.4 называется *постоянной распространения* и принимает в общем случае комплексные значения ($\theta = \theta' + i\theta''$). Мнимая часть θ представляет собой декремент (или инкремент) волны, а действительная часть – набег фазы волны на одно звено. При этом θ' связана с длиной волны λ очевидным соотношением

$$\lambda = 2\frac{\pi}{\theta'}, \quad (2.5)$$

в котором

$$\lambda = \min |n_1 - n_2| \quad (2.6)$$

где n_1 и n_2 – номера ячеек, отвечающих синфазным колебаниям. Поскольку параметр является функцией частоты ω , уравнение (2.4) связывает постоянную распространения с частотой и называется дисперсионным уравнением системы. Дисперсионное уравнение исчерпывающе характеризует безграничную систему. В случае, когда отсутствует временное и пространственное затухание ($\text{Im } \omega = \text{Im } \theta = 0$), оно позволяет определить фазовую (V_ϕ) и групповую ($V_{\text{гр}}$) скорости волн:

$$\begin{aligned} V_\phi &= \frac{\omega}{\theta}, \quad V_{\text{гр}} = \frac{d\omega}{d\theta} \\ (-\pi &\leq \theta \leq \pi) \end{aligned} \quad (2.7)$$

Дисперсионное уравнение (2.4) описывает два типа волн – прямую ($\theta = \theta^+$) и обратную ($\theta = \theta^-$) волну. При этом для фиксированного ω значения θ^+ и θ^- будут отличаться только знаком:

$$\theta^- = -\theta^+. \quad (2.8)$$

Подставляя θ^- и θ^+ в одно из уравнений системы (2.2), можно найти связь между амплитудами напряжения и тока для прямой и обратной волн

$$B^+ = G_x A^+, B^- = -G_x A^-, \quad (2.9)$$

где

$$G_x = \left(\frac{a_{21}}{a_{12}} \right)^{\frac{1}{2}} \quad (2.10)$$

— *характеристическая проводимость фильтра*. Наряду с G_x , вводят также и обратную ей величину

$$Z_x = \sqrt{\frac{a_{12}}{a_{21}}}, \quad (2.11)$$

именуемую *характеристическим импедансом* фильтра.

Пространственная дисперсия фильтра (описываемая 2.4) обуславливает его селективные свойства. Для характеристики этих свойств вводят понятие *полосы прозрачности*, а именно полосы частот, в которой $\theta'' = 0$ (отсутствует затухание по переменной n).

Найдём связь ширины полосы прозрачности с параметрами фильтра. С этой целью заметим, что поскольку

$$\sin \theta = \operatorname{ch} \theta'' \sin \theta' + i \operatorname{sh} \theta'' \cos \theta', \quad (2.12)$$

то в полосе прозрачности

$$\sin \theta = \sin \theta'. \quad (2.13)$$

Отсюда, в силу (2.3), заключаем, что

$$1 - a_{11}^2 \geq 0, \quad (2.14)$$

или, с учётом (2.3),—

$$GZ(1 + \frac{1}{4}GZ) \leq 0 \quad (2.15)$$

Из этого условия и находится полоса прозрачности фильтра. Из него, в частности следует, что в полосе прозрачности фильтра характеристический импеданс (2.11) будет действительной величиной.

Вне полосы прозрачности $\sin \theta' = 0$ и, следовательно, $\sin \theta = i \operatorname{sh} \theta''$. С учётом (3.4), будем иметь

$$\operatorname{sh} \theta'' = \pm \sqrt{a_{11}^2 - 1} \quad (2.16)$$

3. Собственные колебания

Найдём собственные колебания в цепочке, состоящей из N одинаковых Т-образных звеньев, описываемой системой уравнений (2.2) при граничных условиях (1.6). Общее решение такой

системы будет представлять собой суперпозицию прямой и обратной волн вида

$$\begin{aligned} V_n &= A_1 e^{-i\theta} + A_2 e^{i\theta}, \\ I_n &= B_1 e^{-i\theta} + B_2 e^{i\theta}. \end{aligned} \quad (3.1)$$

Для внутренних звеньев прямая и обратная волны распространяются независимо и для них, в силу (2.9), общее решение запишется в виде

$$\begin{aligned} V_n &= A_1 e^{-i\theta} + A_2 e^{i\theta}, \\ I_n &= G_x (A_1 e^{-i\theta} + A_2 e^{i\theta}). \end{aligned} \quad (3.2)$$

Подставляя это решение в граничные условия (1.6), получим следующую однородную систему уравнений для нахождения амплитуд A_1 и A_2 :

$$(1 + Z_0 G_x) A_1 + (1 - Z_0 G_x) A_2 = 0, (1 - Z_N G_x) e^{-iN\theta} A_1 + (1 + Z_N G_x) e^{iN\theta} A_2 = 0. \quad (3.3)$$

Отсюда, расписав условие существования ненулевых решений для A_1 и A_2 , найдём *характеристическое уравнение* рассматриваемой системы

$$1 - \Gamma_0 \Gamma_N e^{-2iN\theta} = 0, \quad (3.4)$$

где $\Gamma_0 \frac{A_1}{A_2} = -\frac{1 - Z_0 G_x}{1 + Z_0 G_x}$ – коэффициент отражения от левой границы фильтра, а $\Gamma_N \frac{A_2 e^{iN\theta}}{A_1 e^{-iN\theta}} = -\frac{1 - Z_N G_x}{1 + Z_N G_x}$ – коэффициент отражения от правой границы фильтра.

Решая совместно дисперсионное уравнение (2.4) и характеристическое уравнение (3.4), найдём спектр собственных (нормальных) частот фильтра и соответствующий ему спектр значений постоянной распространения θ . Очевидно, что этот спектр будет зависеть не только от параметров звена фильтра, но и от условий на его концах. Отметим также, что число нормальных частот всегда совпадает с числом степеней свободы системы.

4. Вынужденные колебания

Рассмотрим вынужденные колебания в фильтре, составленном из Т-образных звеньев, при условии, что на входе фильтра действует источник синусоидальной ЭДС $E = E_0 \cos(\omega t)$ с внутренним сопротивлением r_0 (см. 3). Решение в такой системе можно искать в виде синусоидальных колебаний на частоте внешней силы ω . При этом остаются справедливыми уравнения (1.2), а граничные условия принимают вид:

$$V_0 = E_0 - r_0 I_0, \quad V_N = Z_N I_N. \quad (4.1)$$

Подставляя (3.2) в (4.1), получим

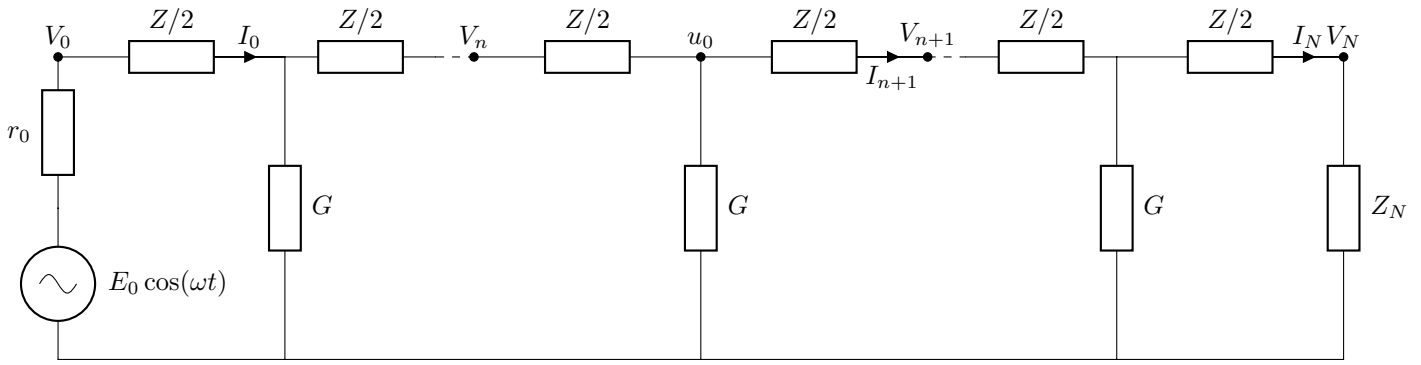


Рис. 3

$$\begin{aligned} (1 + r_0 G_x) A_1 + (1 - r_0 G_x) A_2 &= E_0 \\ (1 - Z_N G_x) e^{-iN\theta} A_1 + (1 + Z_N G_x) e^{iN\theta} A_2 &= 0 \end{aligned} \quad (4.2)$$

Отсюда для A_1 и A_2 будем иметь

$$\begin{aligned} A_1 &= \frac{1 - \Gamma_0}{2} \cdot \frac{E_0}{1 - \Gamma_0 \Gamma_N e^{-2iN\theta}}, \\ A_2 &= \frac{1 - \Gamma_0}{2} \cdot \frac{E_0 \Gamma_N e^{-2iN\theta}}{1 - \Gamma_0 \Gamma_N e^{-2iN\theta}}, \end{aligned} \quad (4.3)$$

Подставляя (4.3) в (3.2), получим следующие выражения для комплексных амплитуд напряжения V_n и I_n тока в n -ой ячейке:

$$\begin{aligned} V_n &= \frac{1 - \Gamma_0}{2} \cdot \frac{E_0 e^{-in\theta}}{1 - \Gamma_0 \Gamma_N e^{-2iN\theta}} [1 + \Gamma_N e^{-2i(N-n)\theta}], \\ I_n &= \frac{1 - \Gamma_0}{2} \cdot \frac{E_0 e^{-in\theta}}{1 - \Gamma_0 \Gamma_N e^{-2iN\theta}} G_x [1 - \Gamma_N e^{-2i(N-n)\theta}], \end{aligned} \quad (4.4)$$

Из (4.4) следует, что если частота внешней ЭДС совпадает с одной из собственных частот фильтра, то амплитуды напряжений и токов во всех звеньях фильтра принимают бесконечно большие значения (явление резонанса). Очевидно, что это возможно лишь в отсутствии затухания, т. е. при условии $\text{Im } \omega_m = 0$. В реальных системах всегда существуют потери ($\omega_m = \omega'_m + i\omega''_m$) и знаменатель в (4.4) не обращается в ноль. При этом в случае произвольных потерь картина резонанса достаточно сложна и далека от той, какую мы имеем в одиночном резонансном контуре. Однако, при $\omega''_m/\omega'_m \ll 1$ эта картина существенно упрощается, и влияние потерь можно описать на привычном языке добротности, вводя её для каждой моды отношением

$$Q_m = \omega'_m/\omega''_m \quad (4.5)$$

Таким образом, для системы со многими степенями свободы не имеет смысла говорить о добротности системы вообще, необходимо оговаривать, о добротности какой моды идёт речь.

При изучении вынужденных колебаний важную роль играют два семейства статических характеристик: семейство амплитудно-частотных характеристик (АЧХ) и семейство фазо-

частотных характеристик (ФЧХ). Эти семейства находятся из выражения для коэффициента передачи, представляющего собой отношение комплексной амплитуды напряжения на выходе фильтра к амплитуде ЭДС на входе, т.е.

$$W(\omega) = \frac{V_N(\omega)}{E_0(\omega)} = \frac{(1 - \Gamma_0)(1 + \Gamma_N)e^{-iN\theta}}{2(1 - \Gamma_0\Gamma_N e^{-2iN\theta})} \quad (4.6)$$

По определению АЧХ – это функция

$$A(\omega) = |W(\omega)| \quad (4.7)$$

а ФЧХ – функция

$$\Phi(\omega) = -\arg W(\omega) \quad (4.8)$$

Очевидно, что вид того и другого семейства характеристик зависит от условий на концах фильтра.

Рассмотрим влияние этих условий на $A(\omega)$ и $W(\omega)$ в полосе прозрачности фильтра, полагая для простоты, что нагрузка фильтра чисто активная (т. е. Γ_0 и Γ_N – действительные функции). При этом

$$A(\omega) = \frac{1 - \Gamma_0}{2} \cdot \frac{1 + \Gamma_N}{\sqrt{1 - \Gamma_0\Gamma_N \cos 2N\theta + \Gamma_0^2\Gamma_N^2}} \quad (4.9)$$

Из полученного выражения следует, что если фильтр согласован на обоих концах ($\Gamma_0 = \Gamma_N = 0$), то $A(\omega) = 1/2$, т.е. напряжение источника ЭДС делится поровну между фильтром и внутренним сопротивлением источника. Если фильтр согласован только на входе ($\Gamma_0 = 0$), или только на выходе ($\Gamma_N = 0$), то $A(\omega) = (1 + \Gamma_N)/2$ и $A(\omega) = (1 - \Gamma_0)/2$, соответственно. Во всех трёх случаях АЧХ не зависит от числа звеньев фильтра.

Если фильтр согласован хотя бы на одном из своих концов, а нагрузка на другом конце – чисто активная, то существенно упрощается и $\Phi(\omega)$:

$$\Phi(\omega) = N\theta(\omega) \quad (4.10)$$

Т.е. ФЧХ с точностью до множителя N сводится к дисперсионной характеристике фильтра.

Многозвенные фильтры представляют собой разновидность длинных линий и используются в радиотехнических устройствах в качестве *линий задержки*. Время запаздывания сигнала при прохождении его через фильтр легко оценить для случая узкополосного сигнала при условии, что спектр его лежит в полосе прозрачности фильтра и укладывается в диапазон частот, в котором фазо-частотную характеристику фильтра можно считать линейной. Спектральную плотность такого сигнала на выходе фильтра для прямой волны можно записать в виде

$$u_N(\eta) = A_1(\xi)e^{i[(\Omega+\eta)t - N\theta(\Omega+\eta)t]} \quad (4.11)$$

Учитывая, что $|\eta| \leq \Delta\omega$, где $\Delta\omega$ – полуширина спектра, и принимая во внимание условие

узкополосности $\Delta\omega \ll \Omega$, разложим в этом выражении нелинейную функцию $\theta(\Omega + \eta)$ в ряд по степеням η , ограничившись двумя первыми членами:

$$\theta(\Omega + \eta) \approx \theta(\Omega) + \left. \frac{d\theta}{d\omega} \right|_{\Omega} \eta \quad (4.12)$$

При этом выражение (4.11) примет вид

$$u_N(\eta) \approx A_1(\xi) e^{i[\Omega t - N\theta\Omega]} e^{i(t - N \frac{d\theta}{d\omega} \eta)} \quad (4.13)$$

Отсюда следует, что время задержки сигнала при прохождении через N-звенный фильтр равно $\tau_N = N \frac{d\omega}{d\theta} \Omega$. Т.е. групповая скорость ($d\omega / d\theta$) имеет смысл времени запаздывания, приходящегося на одно звено.

5. Фильтр низкой частоты (ФНЧ)

Вид отдельного звена ФНЧ изображен на рис 4. ФНЧ служит для пропускания колебаний низкой частоты от $\omega = 0$ до $\omega_{ср}$ (частота "среза"). Для ФНЧ

$$Z = i\omega L, \quad G = i\omega C. \quad (5.1)$$

При этом **дисперсионное уравнение** имеет вид

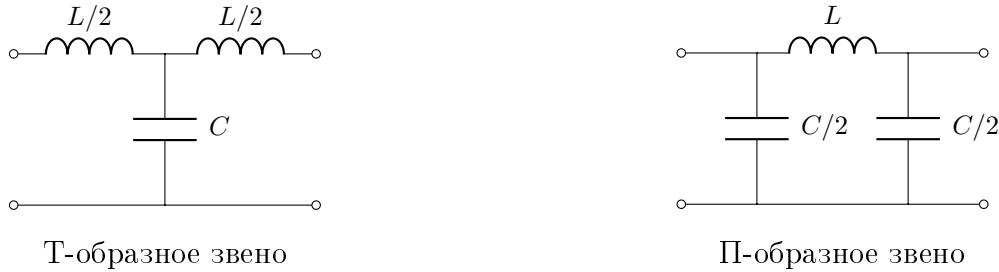


Рис. 4

$$\omega^2 = \frac{2}{LC}(1 - \cos \theta) \quad (5.2)$$

Из периодического характера этого уравнения следует, что физический смысл имеет лишь та часть дисперсионных ветвей, которая лежит в области $|\theta| \leq \pi$. Т.е. набег фазы на одно звено не может превышать π . Поскольку постоянная распространения θ связана с длиной волны λ соотношением $\lambda = 2\pi/\theta$, то из существования $\theta_{\max} = \pi$ вытекает существование λ_{\min} . Иными словами, волны с длиной в одну ячейку существовать не могут. Этот результат порождён дискретным характером структуры фильтра и может быть предсказан заранее.

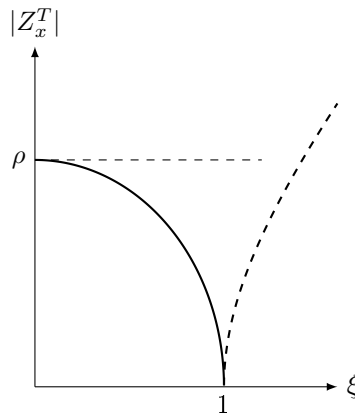


Рис. 5

Полоса прозрачности ФНЧ, в силу (2.15), задаётся условием

$$\omega^2 \leq \frac{4}{LC} \quad (\xi^2 = \frac{\omega^2}{\omega_{\text{ср}}^2} \leq 1) \quad (5.3)$$

Характеристический импеданс фильтра, состоящего из Т- и П-образных звеньев задаётся соотношениями

$$Z_x^T = \rho \sqrt{1 - \xi^2}, \quad Z_x^\Pi = \frac{\rho}{\sqrt{1 - \xi^2}}, \quad (\rho = \sqrt{L/C}) \quad (5.4)$$

Соответствующие им частотные зависимости изображены на рис. 6.

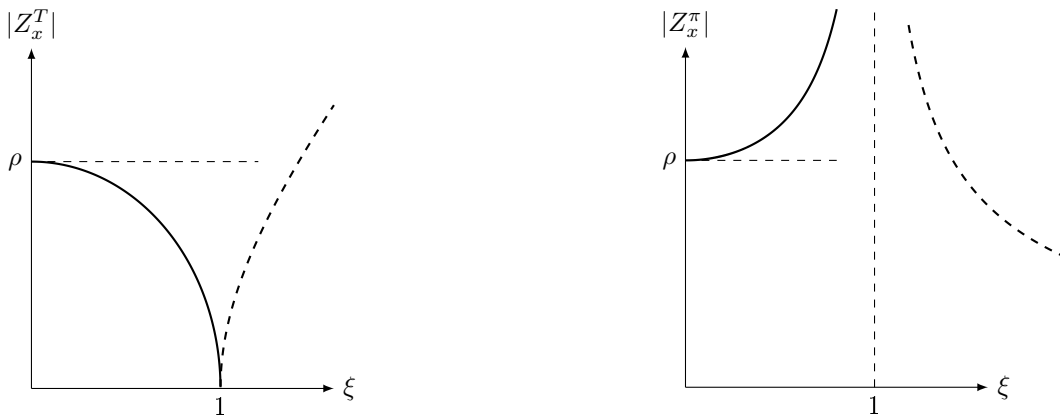


Рис. 6

Параметры звеньев фильтра рассчитываются по формулам

$$L = \frac{2\rho}{\omega_{\text{ср}}}, \quad C = \frac{2}{\rho\omega_{\text{ср}}} \quad (5.5)$$

Время задержки на одно звено даётся выражением

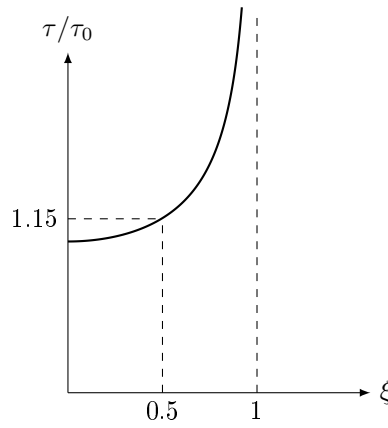


Рис. 7

$$\tau = \frac{2}{\omega_{\text{ср}} \sqrt{1 - \xi^2}} \quad (5.6)$$

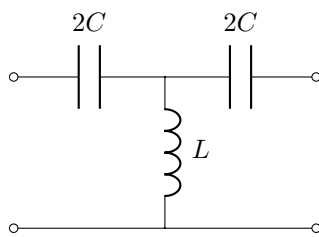
Графически зависимость времени задержки от частоты изображена на рис. 7

6. Фильтр высокой частоты (ФВЧ)

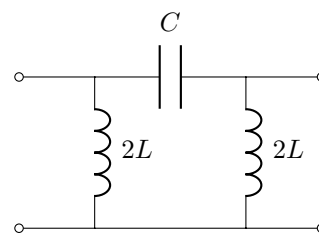
Вид отдельного звена ФВЧ изображен на рис 8. ФВЧ служит для пропускания колебаний с частотами $\omega \geq$. Для ФНЧ

$$Z = i/\omega C, \quad G = i/\omega L. \quad (6.1)$$

При этом **дисперсионное уравнение** имеет вид



Т-образное звено



П-образное звено

Рис. 8

$$\omega^2 = \frac{1}{2LC(1 - \cos \theta)} \quad (6.2)$$

График дисперсионной зависимости приведен на рис. 9

Полоса прозрачности ФНЧ, определяется из условия

$$1 - \frac{1}{4\omega^2 LC} \geq 0 \quad (\xi^2 \geq 1) \quad (6.3)$$

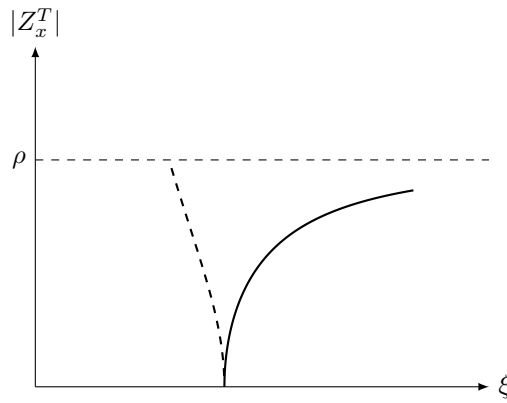


Рис. 9

Характеристический импеданс фильтра, состоящего из Т- и П-образных звеньев задаётся соотношениями

$$Z_x^T = \rho \sqrt{1 - \frac{1}{\xi^2}}, \quad Z_x^\Pi = \frac{\rho \xi}{\sqrt{\xi^2 - 1}}, \quad (\rho = \sqrt{L/C}) \quad (6.4)$$

Соответствующие им частотные зависимости изображены на рис. 10.

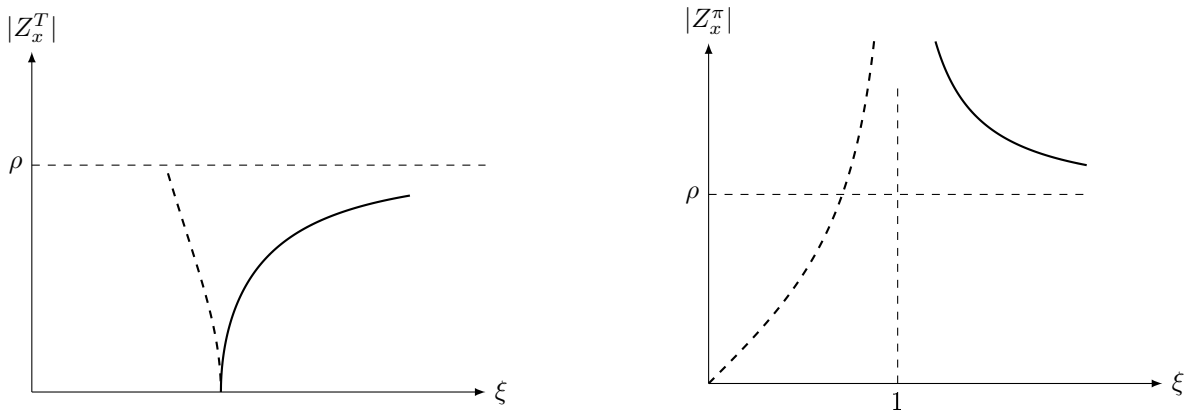


Рис. 10

Параметры звеньев фильтра рассчитываются по формулам

$$L = \frac{\rho}{2\omega_{\text{ср}}}, \quad C = \frac{1}{2\rho\omega_{\text{ср}}} \quad (6.5)$$

Время задержки на одно звено даётся выражением

$$\tau = \frac{1}{\omega_{\text{ср}} \xi \sqrt{\xi^2 - 1}} \quad (6.6)$$

Графически зависимость времени задержки от частоты изображена на рис. 11

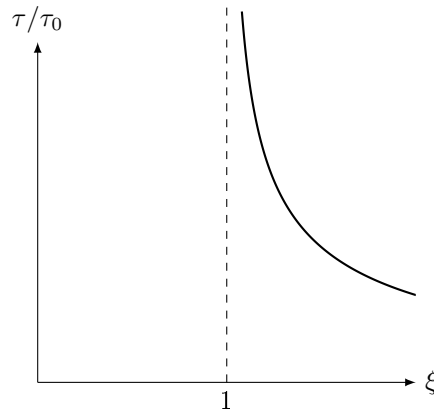


Рис. 11

7. Полосовой фильтр

Вид отдельного звена полосового фильтра изображен на рис.12. Полосовой фильтр служит для пропускания колебаний в полосе частот $\omega_1 \leq \omega \leq \omega_2$. Для полосового фильтра



Рис. 12

$$Z = i\omega L_1 + i/\omega C_1, \quad G = i\omega C_2 + i/\omega L_2. \quad (7.1)$$

Дисперсионное уравнение полосового фильтра определяется следующей зависимостью

$$f(\omega^2) = \sin^2 \frac{\theta}{2} \quad (7.2)$$

где

$$f(\omega^2) = \frac{(L_1 C_1 \omega^2 - 1)(L_2 C_2 \omega^2 - 1)}{4\omega^2 L_2 C_1} \quad (7.3)$$

Так как $0 \leq \sin^2 \frac{\theta}{2} \leq 1$, то система будет пропускать частоты $\omega_1 \leq \omega \leq \frac{1}{\sqrt{L_1 C_1}}$ и $\frac{1}{\sqrt{L_1 C_1}} \leq \omega \leq \omega_2$. На практике интересен случай, когда $\frac{1}{\sqrt{L_1 C_1}} = \frac{1}{\sqrt{L_2 C_2}} = \omega_0$, $\frac{L_1}{L_2} = \frac{C_1}{C_2} = \alpha$. При этом дисперсионное уравнение принимает вид

$$\left(\frac{\omega^2}{\omega_0^2} - 1 \right) \frac{\omega_0}{2\omega} \sqrt{\alpha} = \pm \sin \frac{\theta}{2} \quad (7.4)$$

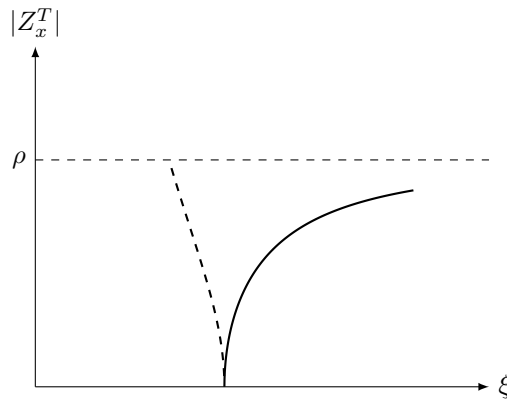


Рис. 13

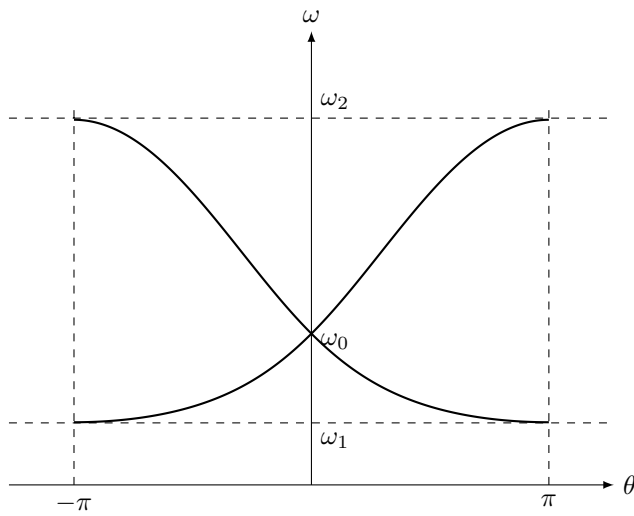


Рис. 14

Соответствующие ему дисперсионные кривые изображены на рис.14

$$\omega_1 = \frac{\omega_0}{\sqrt{\alpha}}(\sqrt{1+\alpha} - 1), \quad \omega_2 = \frac{\omega_0}{\sqrt{\alpha}}(\sqrt{1+\alpha} + 1) \quad (7.5)$$

Полоса прозрачности фильтра определяется из условия

$$\left(\frac{\omega}{\omega_0} - \frac{\omega_0}{\omega} \right)^2 \alpha \leq 4. \quad (7.6)$$

Характеристический импеданс фильтра, состоящего из Т- и П- образных звеньев соотношениями

$$Z_x^T = \rho \sqrt{1 - \frac{\alpha}{4} \left(\frac{\omega}{\omega_0} - \frac{\omega_0}{\omega} \right)^2}, \quad Z_x^\Pi = \frac{\rho}{\sqrt{1 - \frac{\alpha}{4} \left(\frac{\omega}{\omega_0} - \frac{\omega_0}{\omega} \right)^2}} \quad (7.7)$$

где $\rho = \sqrt{L_2/C_1}$. Зависимость этого импеданса от частоты приведена на рис.15



Рис. 15

Параметры фильтра рассчитываются по следующим формулам:

$$\begin{aligned}
 L_1 &= \frac{\sqrt{\alpha}\rho}{\omega_0} = \frac{2\rho}{\omega_2 - \omega_1}, \quad L_2 = \frac{L_1}{\alpha} = \frac{\rho(\omega_2 - \omega_1)}{2\omega_0^2} \\
 C_1 &= \frac{1}{\omega_0^2 L_1} = \frac{\omega_2 - \omega_1}{2\rho\omega_1\omega_2}, \quad C_2 = \alpha C_1 = \frac{2}{\rho(\omega_2 - \omega_1)} \\
 \rho &= \sqrt{\frac{L_2}{C_1}} = \sqrt{\frac{L_1}{\alpha C_1}}
 \end{aligned} \tag{7.8}$$

8. Эксперимент

8.1. ФЧХ и АЧХ